

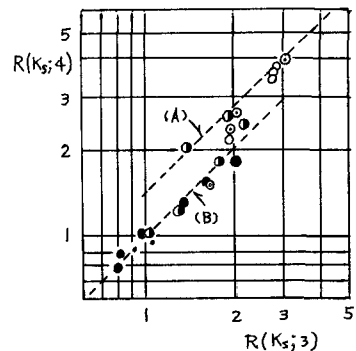
1. 緒言 本研究に示すは、海岸における長周期波の変形特性および潮上特性について実験的明瞭化をし、さらには、潮上波の先端の特性が水理学的理論波と対応するかどうかについても検討する。

2. 実験装置と実験方法 実験に用いた水槽は幅0.9m、長20m（水深10cm）のモデル装置である。その中に、汀線下は1/50、汀線上は1/200のこう配の斜面をつくつた。実験波の波高は最高3cm、周期は0.3~3minと定めた。ここで、汀線より沖側3m（ST.1）、2m（ST.3）および1m（ST.4）の波形記録によって波の変形特性を検討し、汀線上の波形記録によつて潮上波の特性を検討する。

3. 潟水効果 波高につき、ST.3およびST.1との比をそれぞれR(K_s; 3) およびR(K_s; 4) とする。波高が水深に比例して微小ならば、微小振幅波理論の澟水効果が適用できるはずである。実験結果は図-1のようには、波形=3配が10⁻⁴~10⁻³の範囲でよく一致し、10⁻⁵程度では理論と実験との差が著しくなる。これは波の変形過程が非線型的であると考えられる。ここで考えた波高比には周期的特徴があり、たゞいま、R(K_s; 3) についてみれば、図-2のようになる。

実験時の目視観察によれば、長周期波の碎波の判定は困難な場合が多い。著者の実験結果を、碎波しない長波の水深変化によるものと変形に関する岸（'62）の理論と比較してみたところ、図-3のようは傾向は一致するが、定量的にはさらに検討が必要がありうる。

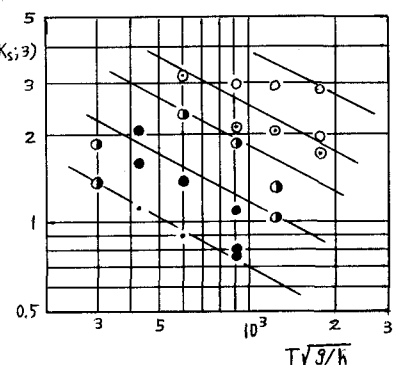
4. 潮上高 長周期波の潮上高は目視によつてまとめ、図-4には波の潮上高と波形=3配との関係を示した。この図には、著者の実験結果のほか、Kaplan（'55）、Saville（'56）および岩崎ら（'70）の実験結果もあわせて示した。また、図-5には波の潮上高の周期特性を示した。ここで実験の特徴として波の特性をあらわす量として波形=3配H/Lと水底=3配M₀を考慮に入れ、波の潮上高R=F(h; H/L) 図-2 を考える。さらには、実験結果よりH/Lがある程度の範囲の値をとるとすると、波の潮上高は近似的に $R = F_0 [1 + \frac{1}{F_0} (\frac{\Delta H}{\delta H})_0 + \frac{1}{F_0} (\frac{\Delta L}{\delta L})_0] (H/L)$ と書ける。さらには、長周期波の近似式として、 $L = TV\sqrt{h}$ とすると、 $R = F_0 [1 + \alpha T + \beta (H/h)/(TV\sqrt{h})]$ となる。ここで、 $\alpha = \frac{1}{F_0} (\frac{\Delta L}{\delta L})_0$ 、 $\beta = \frac{1}{F_0} (\frac{\Delta H}{\delta H})_0$ 。この近似式は図-4および図-5に示された実験結果の傾向を特長づけている。すなわち、図-4では H/L がともに R/H_s が増し (R/H_s が同じ)、図-5では $TV\sqrt{h}$ が増すと R/H_s が減少する傾向を示す。



A: $(H_4/H_1) = 1.50 (H_3/H_1)$

B: $(H_4/H_1) = 1.00 (H_3/H_1)$

図-1 微小振幅波理論の適合性



○	$H/L = 5 \times 10^{-5} \sim 10^{-4}$
○	$10^{-4} \sim 2 \times 10^{-4}$
●	$2 \times 10^{-4} \sim 5 \times 10^{-4}$
●	$5 \times 10^{-4} \sim 10^{-3}$
●	$10^{-3} <$

波高比の周期特性

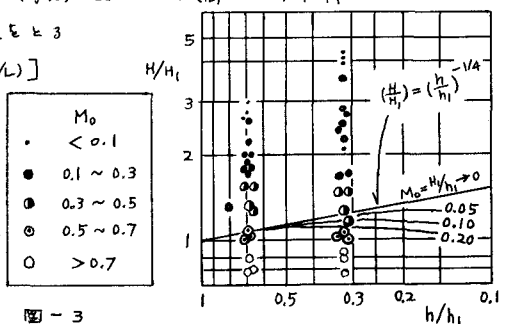


図-3

5. 潟上波先端の特性 長周期波の
澙上波先端の計算附近における移動
速度をもとめ、より周期特性をみる
と図-6のようになる。全体的傾向
としては、波形＝ $1/3$ が小さい波の速
度は小さい。岩崎(170)より計算によ
れば澙上波の速度は $\sqrt{gh_s}$ である
と述べているが、著者の実験例では
速度はそれより小さくなる。

澙上波先端の水面形はつまづけ、
Cross の理論があり、これを実験の
結果と比較して例が図-7である。

また、水理学的限波の先端、水面形
の例を図-8に示す。図-7から図
8の実験は実験値、破線は計算値であ
り、破線のパラメータは $K = 2\left(\frac{g}{C}\right)^{\frac{1}{2}}\left(\frac{u}{h_0}\right)^2$
をとつて。 $C = 10 \cdot u^2 = g h_0$ 。これら
をみると、条件を設定が適切な場合は、
澙上波先端の水面形は限波のそれ
とよく対応するといえる。

6. おわりに これらの成果を長周期
波の海岸における制御および防護に役
立てることなどがされば幸と存る。

なお、本研究の実験は京大防災研土
屋義人教授の指導のもと、故清水保
隆技官の助力を得て遂行された。

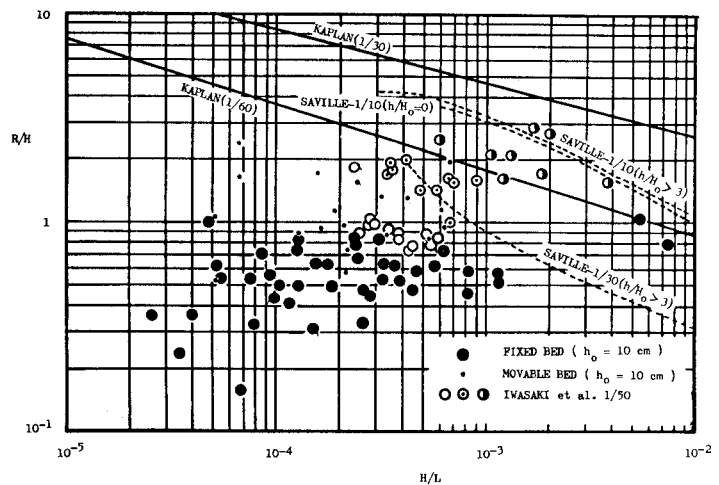


図-4 潟上高に対する波形＝ $1/3$ の影響

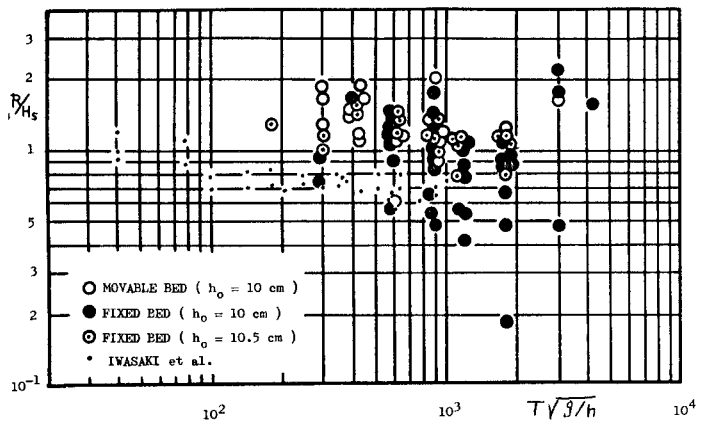


図-5 潟上高の周期特性

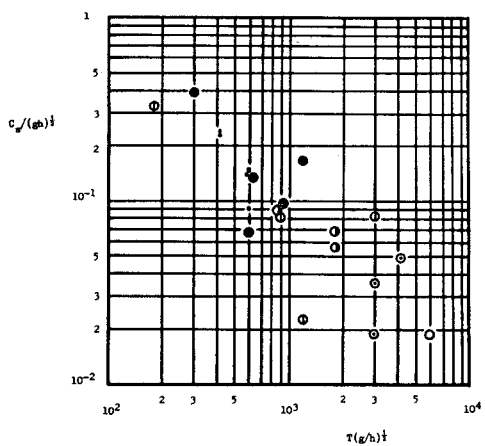


図-6 潟上波先端速度の周期特性

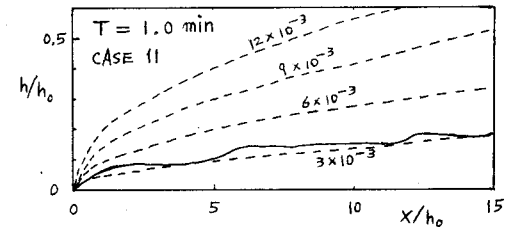


図-7 潟上波先端の水面形と Cross の理論

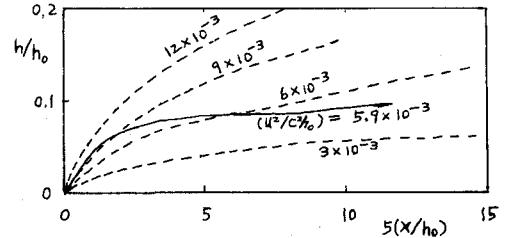


図-8 限波先端の水面形と Cross の理論